

С 346.6а

X-303

7/11-69

СООБЩЕНИЯ  
ОБЪЕДИНЕННОГО  
ИНСТИТУТА  
ЯДЕРНЫХ  
ИССЛЕДОВАНИЙ

Дубна

1- 4475



М.С.Хвастунов

НЕКОТОРЫЕ ЗАМЕЧАНИЯ  
О ДВУХФОТОННОМ РАСПАДЕ

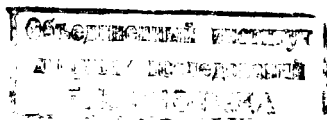
ЛАБОРАТОРИЯ ВЫСОКИХ ЭНЕРГИЙ

1969

1- 4475

М.С.Хвастунов

НЕКОТОРЫЕ ЗАМЕЧАНИЯ  
О ДВУХФОТОННОМ РАСПАДЕ



В данной работе обсуждаются некоторые особенности кинематики двухфотонного распада бесспиновых резонансов<sup>x/</sup>. Как известно, при таком распаде в распределении по углу разлета фотонов заметна сильная концентрация случаев в районе минимального угла разлета. Это является следствием того, что в системе покоя распадающегося резонанса все направления распада равновероятны.

Минимальный угол разлета вычисляется по известной формуле

$$\cos(\theta_m/2) = \beta_x, \quad (1)$$

где  $\beta_x$  - скорость (в единицах скорости света) распадающегося резонанса. Формулу (1) можно записать в более удобном виде:

$$\sin(\theta_m/2) = m_x/E_x, \quad (1')$$

где  $m_x$  и  $E_x$  - масса и полная энергия резонанса.

Вероятность  $w(\theta, \beta_x)$  двухфотонного распада резонанса  $X$  с углом  $\theta$  разлета фотоном вычисляется по известной формуле (см., например, /1/):

---

<sup>x/</sup> Приведенные ниже формулы применимы и для распадов на два фотона долгоживущих нестабильных частиц со спином 0.

$$w(\theta, \beta_x) = \frac{1 - \beta_x^2}{2\beta_x} \cdot \frac{\cos(\theta/2)}{\sin^2(\theta/2)} \cdot \frac{1}{\sqrt{\beta_x^2 - \cos^2(\theta/2)}} \quad (2)$$

В формуле (2) угол разлета  $\theta$  изменяется в пределах от  $\theta_m$  до  $\pi$ . Для каждой скорости резонанса имеется свое значение минимального угла  $\theta_m$  и своя кривая  $w(\theta, \beta_x)$ . Если ввести параметр  $\xi = \sin(\theta/2) / \sin(\theta_m/2)$ , то набор кривых  $w(\theta, \beta_x)$  для разных скоростей  $\beta_x$  можно свести к одной кривой, применимой в широком интервале скоростей резонанса. Для этого в формуле (2) скорость  $\beta_x$  заменим величиной  $\cos(\theta_m/2)$  (см. формулу (1)) и после простого преобразования получим:

$$w(\xi, \gamma_x) = \frac{1}{\xi^2} \sqrt{\frac{1 - \xi^2 / \gamma_x^2}{\xi^2 - 1}}, \quad (2')$$

где  $\gamma_x = E_x / m_x$  - лоренц-фактор резонанса  $X$ . Параметр  $\xi$  изменяется в пределах от 1 до  $\xi_{max} = \sin(\pi/2) / \sin(\theta_m/2) = \gamma_x$  (см. формулу (1')). Функция  $w(\xi, \gamma_x)$  отличается от функции  $w(\theta, \beta_x)$  нормировочным множителем  $\frac{1}{2} \frac{\gamma_x^2}{\sqrt{\gamma_x^2 - 1}}$ .

Как видно из выражения (2'), вероятности  $w(\xi, \gamma_x)$  велики при  $\xi \approx 1$  и быстро спадают при увеличении  $\xi$ . Поэтому при  $\gamma_x \gg 1$  корень  $\sqrt{1 - \xi^2 / \gamma_x^2}$  можно заменить единицей и функция  $w(\xi, \gamma_x)$  упрощается:

$$w(\xi, \gamma_x) \approx w(\xi) = \frac{1}{\xi^2} \frac{1}{\sqrt{\xi^2 - 1}}, \quad (\gamma_x \gg 1). \quad (2'')$$

На рис. 1 представлены графики функции  $w(\xi, \gamma_x)$  для  $\gamma_x \geq 4$  ( $\gamma_x = 3,7$  и  $\gamma_x = 22,2$ ). За 1 взята вероятность распада при значении

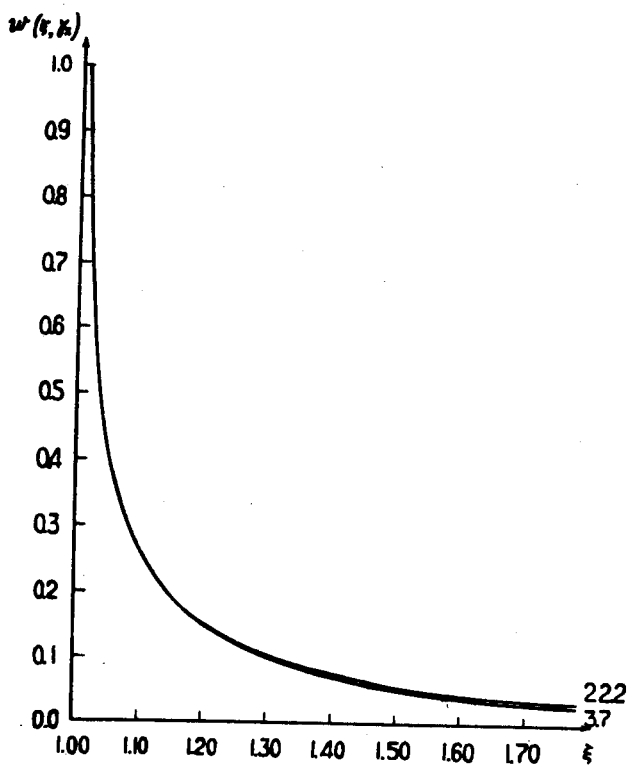


Рис. 1. График функции  $w(\xi, \gamma_x)$ . Числа на кривых - значения параметра  $\gamma_x$ .

параметра  $\xi = 1,01$ . Как видно из этого рисунка, при  $\gamma_x \geq 4$  и  $1 \leq \xi \leq 2$  графики функций  $w(\xi, \gamma_x)$  и  $w(\xi)$  (если в качестве функции  $w(\xi)$  брать функцию  $w(\xi, \gamma_x)$  при  $\gamma_x = 22,2$ ) практически сливаются в одну кривую. Для расчётных целей более удобны графики функции  $W(\xi_1, \gamma_x)$ , по которым определяются вероятности того, что при распаде параметр  $\xi$  не превышает выбранное значение  $\xi_1$ .

Функция  $W(\xi_1, \gamma_x)$  выражается через функцию  $w(\xi, \gamma_x)$  следующим образом:

$$W(\xi_1, \gamma_x) = \int_1^{\xi_1} w(\xi, \gamma_x) d\xi / \int_1^{\gamma_x} w(\xi, \gamma_x) d\xi. \quad (3)$$

Интегралы в (3) выражаются через эллиптические интегралы 1-го и 2-го рода.

При больших значениях параметра  $\gamma_x$  ( $\gamma_x \geq 4$ ) функцию  $w(\xi, \gamma_x)$  можно заменить более простой функцией  $w(\xi)$  и тогда интегралы в (3) выражаются через элементарные функции:

$$W_0(\xi_1, \gamma_x) = \sqrt{\frac{1 - 1/\xi_1^2}{1 - 1/\gamma_x^2}} = \frac{W(\xi_1)}{\sqrt{1 - 1/\gamma_x^2}}, \quad (\gamma_x \geq 4). \quad (3')$$

Как показывают численные расчёты, формулой (3') можно пользоваться и при малых значениях  $\gamma_x$ . На рис. 2 представлены график функции  $W(\xi_1) = \sqrt{1 - 1/\gamma_x^2} \cdot W_0(\xi_1, \gamma_x)$  и графики функции  $W(\xi_1, \gamma_x)$  для малых значений  $\gamma_x$ . Интегралы в формуле (3) вычислялись численным способом. Для всех выбранных малых значений  $\gamma_x$  от 1,02 до 2,1 графики функций  $\sqrt{1 - 1/\gamma_x^2} W(\xi_1, \gamma_x)$  практически сливаются с графиком функции  $\sqrt{1 - 1/\gamma_x^2} W_0(\xi_1, \gamma_x) = W(\xi_1)$ .

Энергии  $E_1$  и  $E_2$  распадных фотонов и углы  $\theta_1 = (\hat{\vec{p}}_1, \vec{p}_x)$  и  $\theta_2 = (\hat{\vec{p}}_2, \vec{p}_x)$  можно представить в виде функций параметра  $\xi$  ( $\vec{p}_1, \vec{p}_2$  и  $\vec{p}_x$  - векторы импульсов распадных фотонов и резонанса X). Энергии  $E_1$  и  $E_2$  вычисляются по формулам:

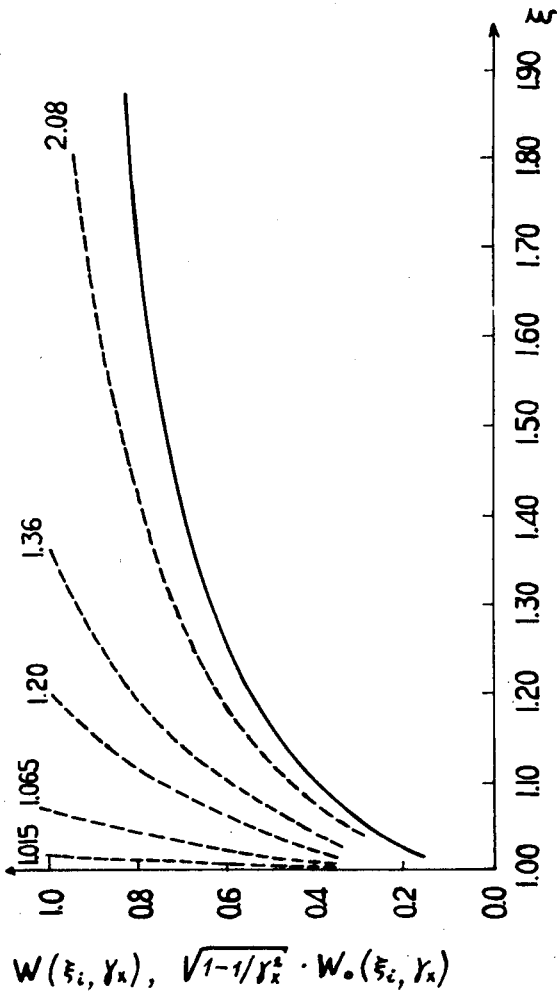


Рис. 2. Графики функции  $\sqrt{1-1/\gamma_x^2} \cdot W_0(\xi_i, \gamma_x)$  (сплошная линия) и функций  $W(\xi_i, \gamma_x)$  (пунктирные линии). Числа на кривых - значения лоренц-факторов  $\gamma_x$  распадающихся резонансов.

$$k_1 = E_1 / (E_x / 2) = 1 - \sqrt{1 - 1/\xi_1^2} = 1 - W(\xi_1)$$

$$= 1 - \sqrt{1 - 1/\gamma_x^2} \cdot W_0(\xi_1, \gamma_x) \quad (4)$$

$$k_2 = E_2 / (E_x / 2) = 2 - k_1 = 1 + \sqrt{1 - 1/\xi_1^2}.$$

Из выражений (4) получаем

$$\sqrt{1 - 1/\gamma_x^2} \cdot W_0(\xi_1, \gamma_x) = 1 - k_1. \quad (4')$$

Как видно из выражения (4'), значение функции  $W_0(\xi_1, \gamma_x)$  можно трактовать как вероятность

$$W_1(k_1, \gamma_x) = (1 - k_1) / \sqrt{1 - 1/\gamma_x^2} \quad (4'')$$

того, что при распаде параметр  $k_1$  для одного из фотонов не меньше некоторого значения  $k_1 = 1 - \sqrt{1 - 1/\xi_1^2}$ , а значение  $k_2$  для другого фотона не больше величины  $2 - k_1 = 1 + \sqrt{1 - 1/\xi_1^2}$ .

Граничные значения параметров  $k_1$  и  $k_2$  равны:

$$k_{1 \min} = 1 - \sqrt{1 - 1/\gamma_x^2} \quad \text{и}$$

$$k_{2 \max} = 1 + \sqrt{1 - 1/\gamma_x^2}.$$

Отношение  $a_1 = \sin \theta_2 / \sin \theta_1 = k_1 / k_2$  выражается через функцию  $W(\xi_1)$  следующим образом:

$$a_1 = (1 - W(\xi_1)) / (1 + W(\xi_1)). \quad (5)$$

Из формулы (5) получаем:



$$W(\xi_1) = \sqrt{1-1/\gamma_x^2} \cdot W_0(\xi_1, \gamma_x) = (1-a_1)/(1+a_1). \quad (5')$$

Из выражения (5') видно, что значение функции  $W_0(\xi_1, \gamma_x)$  можно трактовать как вероятность

$$W_2(a_1, \gamma_x) = \left( \frac{1-a_1}{1+a_1} \right) / \sqrt{1-1/\gamma_x^2} \quad (5'')$$

того, что при распаде параметр  $a$  не превышает

$$a_1 = (1-\sqrt{1-1/\xi_1^2}) / (1+\sqrt{1-1/\xi_1^2}).$$

Минимальное значение параметра  $a$  равно:

$$a_{\min} = k_{1 \min} / k_{2 \max}.$$

Параметр  $\beta_1 = |k_1 - k_2| / (k_1 + k_2)$  равен значению функции  $W(\xi_1)$ :

$$\beta_1 = W(\xi_1) = \sqrt{1-1/\gamma_x^2} \cdot W_0(\xi_1, \gamma_x). \quad (6)$$

Из выражения (6) видно, что значение функции  $W_0(\xi_1, \gamma_x)$  может трактоваться как вероятность

$$W_3(\beta_1, \gamma_x) = \beta_1 / \sqrt{1-1/\gamma_x^2} \quad (6')$$

того, что при распаде параметр  $\beta$  не превосходит выбранное значение

$\beta_1 = \sqrt{1-1/\xi_1^2}$ . Максимальное значение параметра  $\beta$  равно:

$$\beta_{\max} = \sqrt{1-1/\gamma_x^2}.$$

Параметр  $\beta$  входит в формулу для вычисления относительной погрешности лоренц-фактора резонанса<sup>1/2</sup>:

$$\frac{\sigma_{\gamma_x}}{\gamma_x} = \frac{1}{2} \left\{ \beta^2 \left[ \left( \frac{\sigma_{E_1}}{E_1} \right)^2 + \left( \frac{\sigma_{E_2}}{E_2} \right)^2 \right] + \left( \frac{\sigma_{\theta}}{2 \operatorname{tg}(\theta/2)} \right)^2 \right\}^{1/2} \quad (7)$$

Для резонанса с большим значением  $\gamma_x$  параметр  $\beta$  изменяется от 0 до  $\beta_{\max} \approx 1$  и среднее значение  $\bar{\beta} \approx 0,5$ . Если отобрать  $\approx 50\%$  распадов с параметрами  $k_1$  и  $k_2$ :  $0,5 \leq k_1 \leq 1,0$  и  $1,0 \leq k_2 \leq 1,5$ , то для этих событий параметр  $\beta$  изменяется от 0 до  $\approx 0,5$  и среднее значение  $\bar{\beta}_{1/2} \approx 0,25$ .

Таким образом, отбирая события с близкими энергиями распадных фотонов, можно существенно снизить влияние энергетических ошибок на вычисляемое значение параметра  $\gamma_x$ .

Если для идентификации резонанса использовать эффективную массу, вычисляемую по формуле

$$m_x = \sqrt{E_1 E_2} \cdot 2 \sin(\theta/2), \quad (8)$$

то такой возможности улучшения разрешения нет:

$$\frac{\sigma_{m_x}}{m_x} = \frac{1}{2} \left\{ \left( \frac{\sigma_{E_1}}{E_1} \right)^2 + \left( \frac{\sigma_{E_2}}{E_2} \right)^2 + \left( \frac{\sigma_{\theta}}{2 \operatorname{tg}(\theta/2)} \right)^2 \right\}^{1/2} \quad (8')$$

Использование параметра  $\gamma_x$  предпочтительней также в случае, когда энергии распадных фотонов измеряются с систематическими ошибками:

$$E'_1 = (1 + \delta_1) E_1$$

и

$$E'_2 = (1 + \delta_2) E_2,$$

где  $E_1, E_2$  и  $E'_1, E'_2$  - "истинные" и измеренные энергии фотонов  
и  $\delta_1, \delta_2$  - неизвестные систематические ошибки.

В этом случае средние значения массы  $m'_x$  и лоренц-фактора  $\gamma'_x$  резонанса будут смещены относительно "истинных" значений  $m_x$  и  $\gamma_x$ :

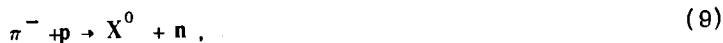
$$\left( \frac{m'_x - m_x}{m_x} \right)_E = \frac{1}{2} (|\delta_1| + |\delta_2|), \quad (9)$$

$$\left( \frac{\gamma'_x - \gamma_x}{\gamma_x} \right)_E \cong \frac{1}{2} \beta (|\delta_1| + |\delta_2|). \quad (9')$$

Для резонанса с большим значением  $\gamma_x$ , как упоминалось выше, среднее значение множителя  $\beta$  равно 0,5 для всей совокупности событий и  $\approx 0,25$  для  $\approx 50\%$  событий с  $0 \leq k_1 \leq 1,0$  и  $1 \leq k_2 \leq 1,5$ .

Таким образом, при систематических ошибках в  $E_1$  и  $E_2$  смещение параметра  $\gamma_x$  в два раза меньше смещения эффективной массы  $m_x$ . Отбирая события с близкими энергиями распадных фотонов, систематическое смещение параметра  $\gamma_x$  можно существенно уменьшить.

Параметром  $\gamma_x$  имеет смысл пользоваться только в том случае, когда резонанс X рождается в двухчастичной реакции, например;



и энергия налетающих частиц ( $\pi^-$ ) изменяется в малых пределах. В этом случае лоренц-фактор  $\tilde{\gamma}_x$  резонанса X в системе покоя ( $\pi^- p$ ) фиксирован и каждый резонанс X характеризуется своим значением лоренц-фактора  $\tilde{\gamma}_x$ , вычисляемым по формуле:

$$\tilde{\gamma}_x = \gamma_c \gamma_x - \sqrt{\gamma_c^2 - 1} \cdot \sqrt{\gamma_x^2 - 1} \cdot \cos \theta_x, \quad (10)$$

где  $\gamma_0 = 1/\sqrt{1-\beta_0^2}$ ,  $\beta_0 = p_{\pi^-}/(E_{\pi^-} + m_p)$  и  $\theta_x = (\hat{P}_{\pi^-}, \vec{P}_x)$ .

Пики в спектре лоренц-факторов  $\tilde{\gamma}_x$  будут означать появление в реакции (9) резонансов. Массы этих резонансов вычисляются по формуле:

$$m_{x_0}^2 = m_0^2 \tilde{\gamma}_x^2 - \sqrt{m_0^2 (\tilde{\gamma}_x^2 - 1) + m_n^2}, \quad (11)$$

где  $m_0^2 = m_{\pi}^2 + m_p^2 + 2E_{\pi} m_p$ .

### Краткие выводы

Таким образом, при двухфотонном распаде бесспинового резонанса с произвольным значением лоренц-фактора  $\gamma_x$ :

1) распределение  $w(\xi, \gamma_x)$  распадов по параметру  $\xi$  может быть описано одной кривой (для  $\gamma_x \gtrsim 4$ );

2) распределение  $W_0(\xi_1, \gamma_x)$  может быть описано одной кривой;

3) энергетические распределения  $W_1(k_1, \gamma_x)$  распадных фотонов могут быть описаны одним графиком;

4) угловые распределения  $W_2(a_1, \gamma_x)$  распадных фотонов могут быть описаны одной кривой;

5) для идентификации резонансов  $X$ , образующихся в двухчастичной реакции  $a + b \rightarrow X + c$  с фиксированной эффективной массой системы  $(ab)$ , предпочтительней использовать параметр  $\gamma_x$ .

Автор выражает благодарность Г.И.Копылову за полезные обсуждения.

### Л и т е р а т у р а

1. Г.Челлен. Физика элементарных частиц. "Наука", 1966.
2. Г.И.Копылов, М.С.Хвастунов. Ядерная физика, 6, 780 (1967).

Рукопись поступила в издательский отдел

7 мая 1969 г.